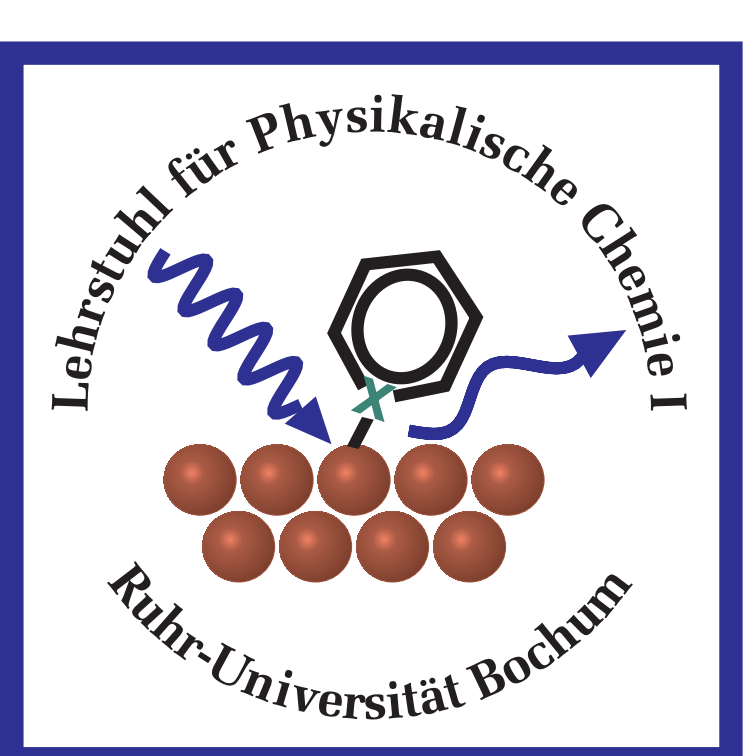


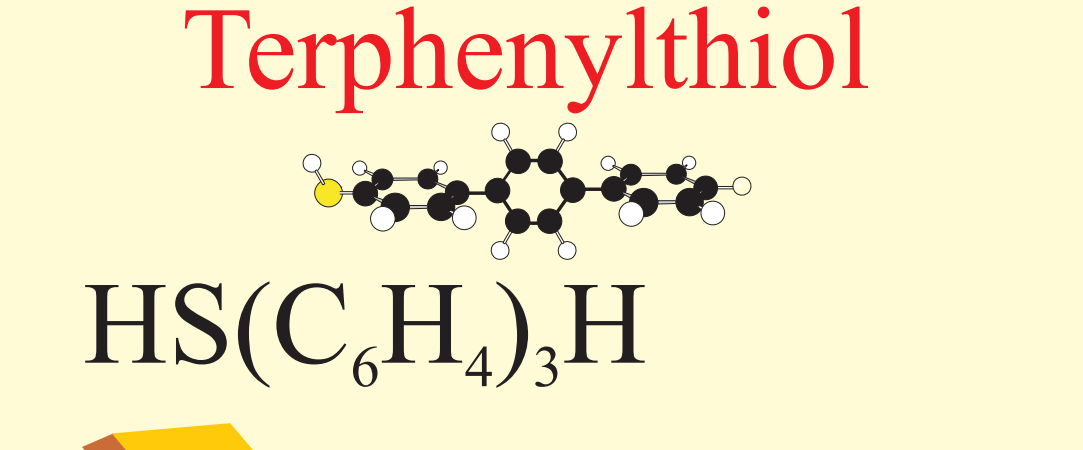
Charakterisierung der Struktur von p-Terphenylthiol-SAMs in Mono- und Bilagen auf Au(111)-Oberflächen mittels Röntgenabsorptions- und Infrarotspektroskopie

Ralf Arnold¹, Hans-Jörg Himmel³, Andreas Terfort², Christof Wöll¹

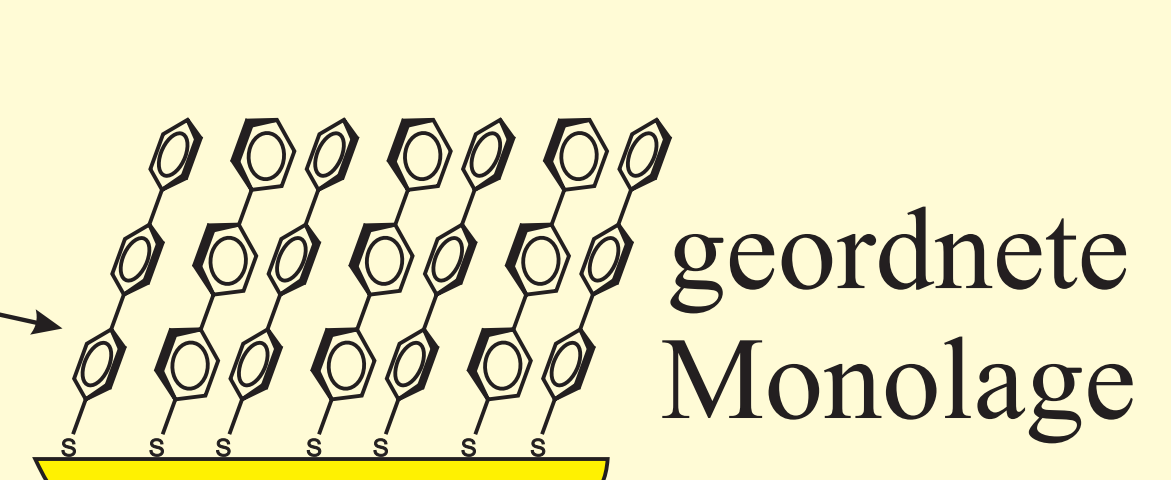
¹Lehrstuhl für Physikalische Chemie I, Ruhr-Universität Bochum ²Anorganische und Angewandte Chemie, Universität Hamburg ³Inorganic Chemistry Laboratory, University of Oxford



Selbstordnungsprozeß von



Au-Substrat

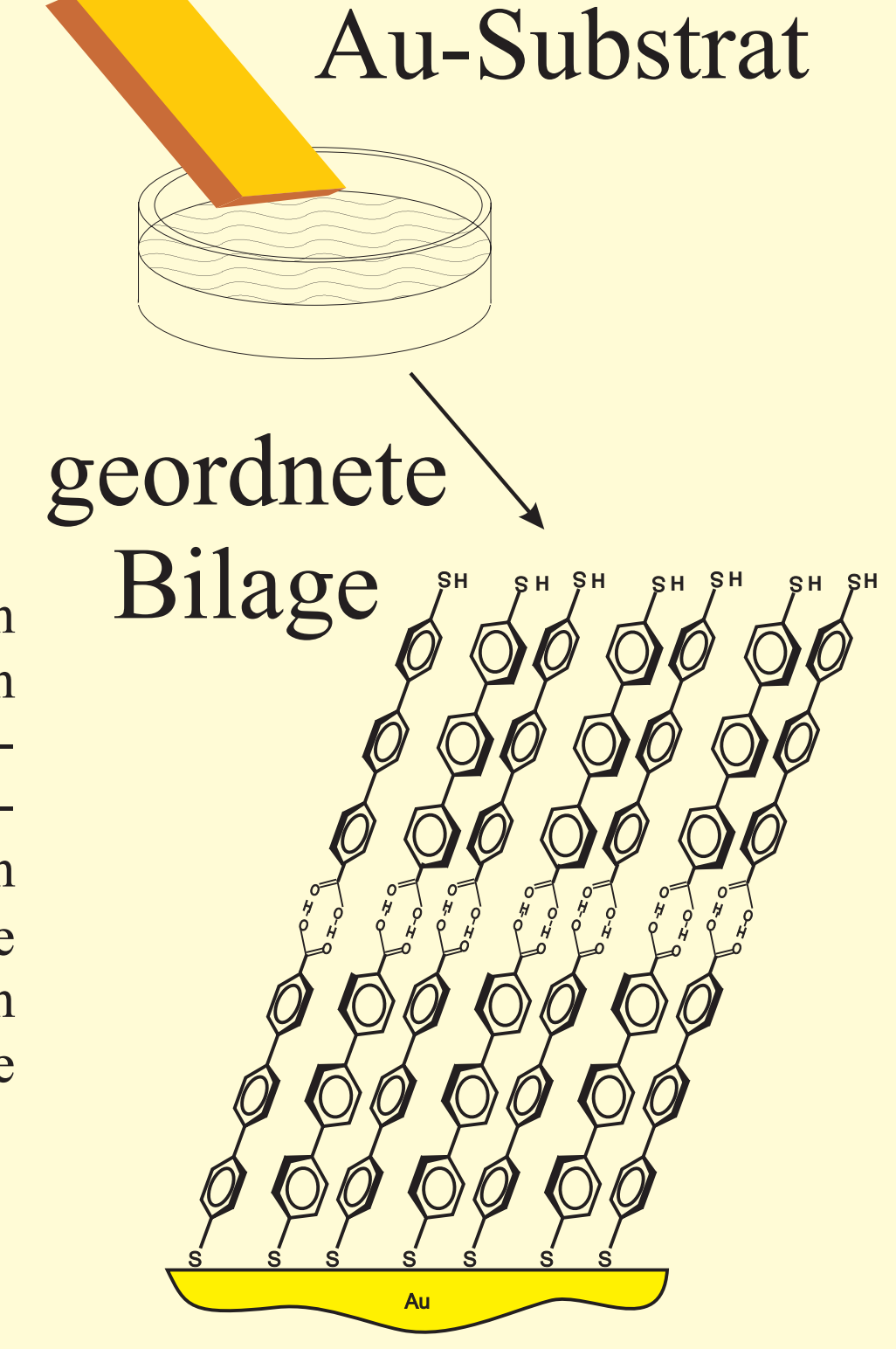


Die Adsorption unfunktionalisierter Terphenylthiole¹ führt analog zur Adsorption unfunktionalisierter Alkanthiole² zu geordneten Monolagen. Die Adsorption von Mercaptoalkansäuren auf Goldoberflächen führt hingegen zu ungeordneten Filmen, die aus wasserstoffverbrückten, mit beiden Thiolfunktionalitäten adsorbierten Dimeren bestehen³⁴. Bei carboxylterminierten Terphenylthiolen bilden sich, hervorgerufen durch die π -bindungsverursachte Versteifung der Ketten ebenfalls hochgeordnete Filme, es entstehen wasserstoffverbückte Bilagen aus Mercaptoterphenylsäuredimeren¹. Eine Untersuchung der terphenylbasierten Filme wird vorgestellt.

- [1] Himmel, Terfort, Wöll, J. Am. Chem. Soc. 1998, 120, 12069-12074
- [2] Nuzzo, Allara, J. Am. Chem. Soc. 1983, 105, 4481-4486
- [3] Himmel, Weiss, Jäger, Dannenberger, Grunze, Wöll,, Langmuir 1997, 13, 4943-4947
- [4] Dannenberger, Weiss, Himmel, Jäger, Buck, Wöll, Thin Solid Films 1997, 307, 183-191

Mercaptoterphenylsäure

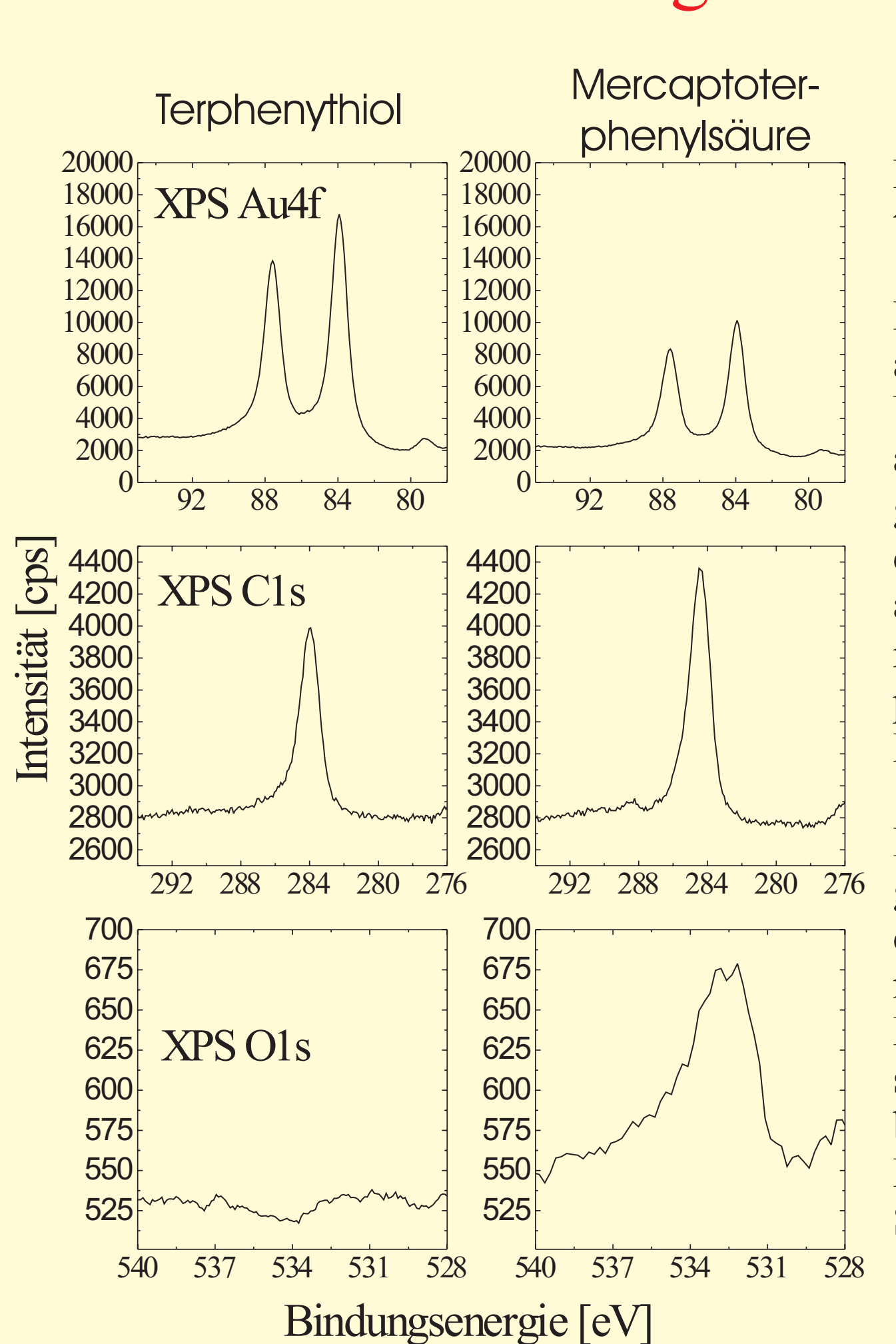
(HS(C₆H₄)_nCOOH)₂



Wir haben die Anordnung von Terphenylthiol (TPT) und Mercaptoterphenylsäure (MTPS) auf aufgedampften Au(111)-Oberflächen untersucht. Die Präparation der Schichten erfolgte selbstordnend (SAM) aus 0,1 mM Lösungen. Einführend wurde die Lösungsmittelunabhängigkeit der Schichtbildung am TPT kontrolliert. Es ergaben sich übereinstimmende IR-Spektren bei Präparation der SAMs aus Ethanol, CCl₂, CCl₄, THF und Toluol. Die Bestimmung der Orientierungen erfolgte an aus Ethanol präparierten Filmen, wobei die Zuordnung der Banden denen der Normalschwingungen des Benzols folgt.

Die Betrachtung der IR-Spektren der SAMs zeigt nur eine einzige Bande (814 cm⁻¹), deren dynamisches Dipolübergangsmoment (TDM) senkrecht zur Kettenachse orientiert ist. Diese Bande besteht aus ein oder mehreren Moden der Normalschwingungen 10a, 11 und 17b. Eine genaue Zuordnung war nicht möglich, aber auch nicht erforderlich, da alle drei Moden senkrecht zur Molekülebene stehen (op) und so gemeinsam betrachtet werden können. Weil keine Bande der dritten Raumrichtung vorhanden ist, schied eine IR-gestützte Orientierungsbestimmung nach Debe¹ aus. Die Bestimmung der Verkippung erfolgte deshalb unter Annahme der Gleichverteiltung der op TDMs. So konnte aus dieser einen op-orientierten Bande und jeweils einer mit dem TDM parallel zur Kettenachse (ip par) liegenden Bande der Parameter Konzentration eliminiert und die Kippung der Ketten bestimmt werden. Die Ergebnisse zeigt die Tabelle "Orientierungsbestimmung" rechts unten. Die aus der intensivsten SAM-Bande 19a der Ringschwingungen des TPT bzw. 8a der MTPS gewonnenen Ergebnisse stimmen im Rahmen der Meßunsicherheiten mit den Werten der NEXAFS-Messungen² von 21° (TPT) bzw. 27° (MTPS) überein. Die Abweichungen der aus den übrigen Bandenpaaren berechneten Orientierungen kann derzeit noch nicht erklärt werden. [1] Debe, J. Appl. Phys. 1984, 55, 3354-3364

Bestimmung der Schichtdicke mit XAS



Die Abbildung zeigt die XPS-Spektren von Terphenylthiol (TPT) und Mercaptoterphenylsäure (MTPS).

Die Bestimmung der Schichtdicke des TPT wurde anhand der Abschwächung der Intensität des Au-Untergrundsignals, verglichen mit einer analogen, aber unbeschichteten Goldoberfläche (hier nicht dargestellt) zu 16 Å bestimmt¹. Dieser Wert korrespondiert gut mit 15,8 Å², dem aus der Röntgenstrukturanalyse bekannten Wert von p-Terphenyl, umgerechnet³ auf TPT und deutet auf eine geringe Verkippung der Ketten sowie daraus folgernd auf eine hohe Packungsdichte der Moleküle auf der Oberfläche hin.

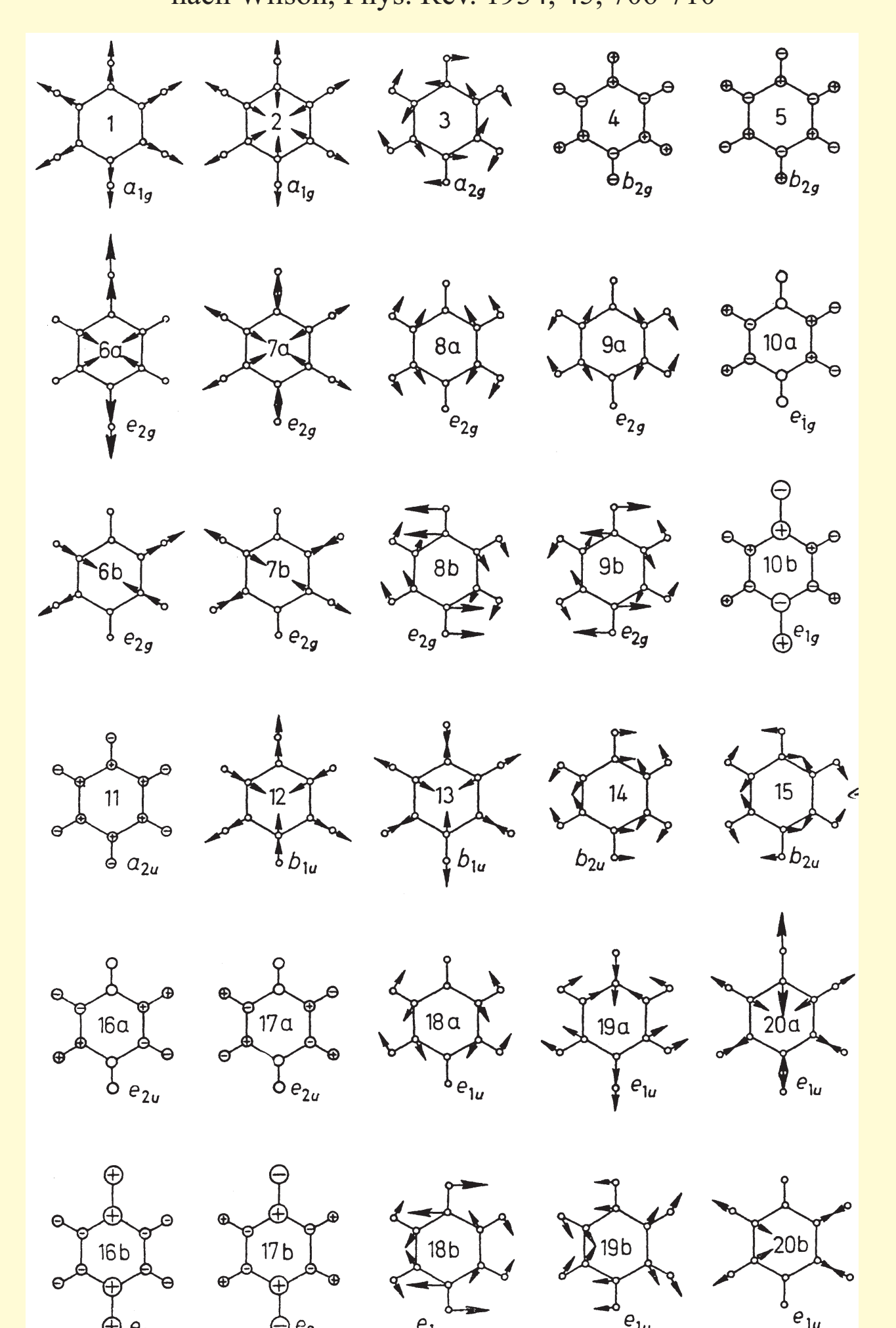
Die Schichtdickenbestimmung der MTPS nach der gleichen Methode ergab 34 Å. Die MTPS-Schichtdicke referenziert gegen TPT ergab sich aus den relativen Intensitäten der Au-C-Peaks zu 34,4 Å. Der Vergleich dieser Meßwerte mit dem Röntgenstrukturanalysewert von p-Terphenyl deutet auf die Ausbildung einer dimeren Bilage bei etwa gleicher Kippung und Packungsdichte der Moleküle im SAM hin.

[1] Himmel, Dissertation, Ruhr-Universität Bochum, Bochum 1998
[2] Rietveld, Acta Cryst. 1970, B 26, 693-706
[3] Handbook of Chemistry and Physics, CRC-Press, Boca Raton 1998

Orientierungsbestimmung mittels Infrarotspektroskopie

[2] Himmel, Terfort, Wöll, J. Am. Chem. Soc. 1998, 120, 12069-12074

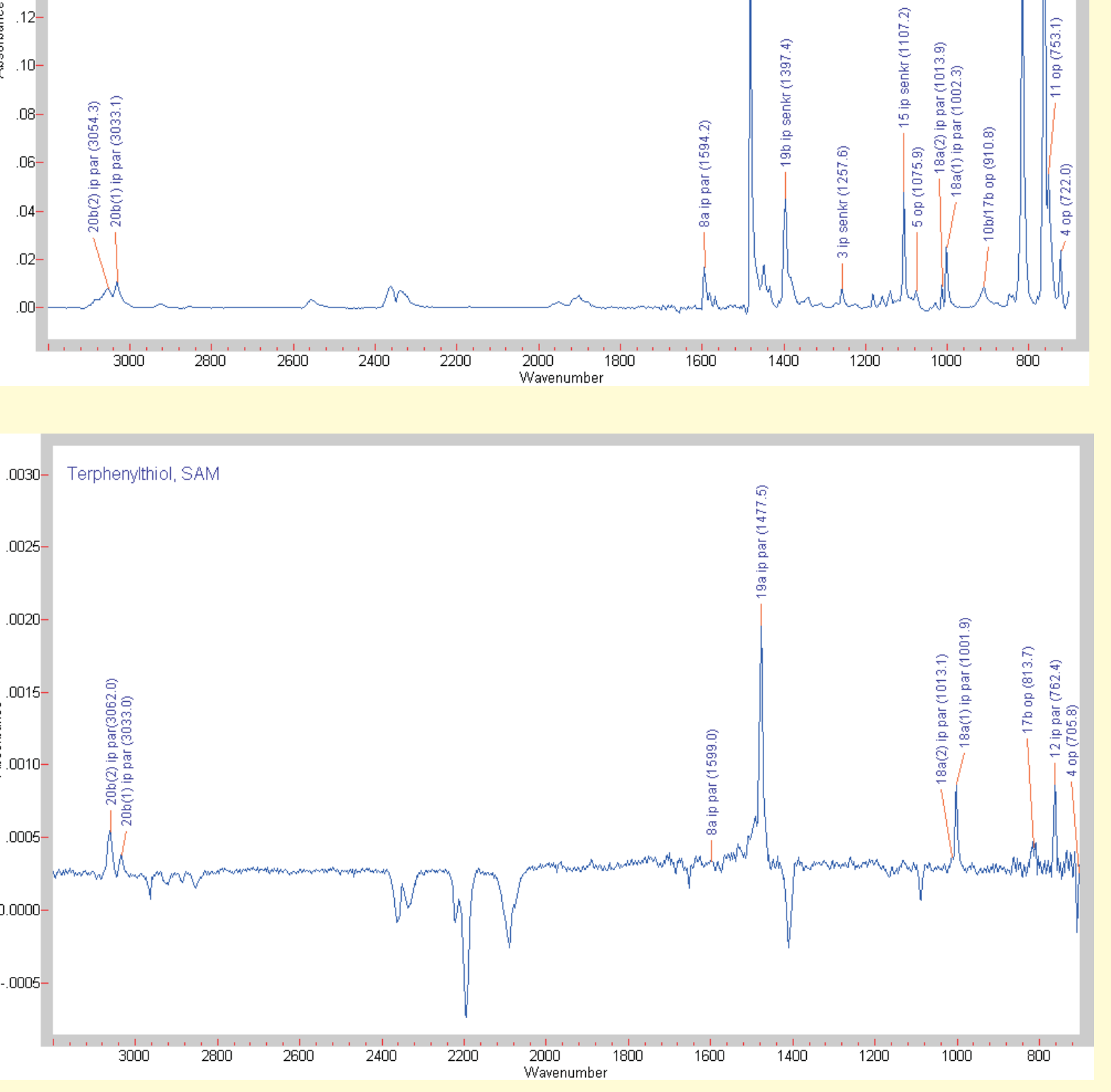
Normalschwingungen des Benzols nach Wilson, Phys. Rev. 1934, 45, 706-710



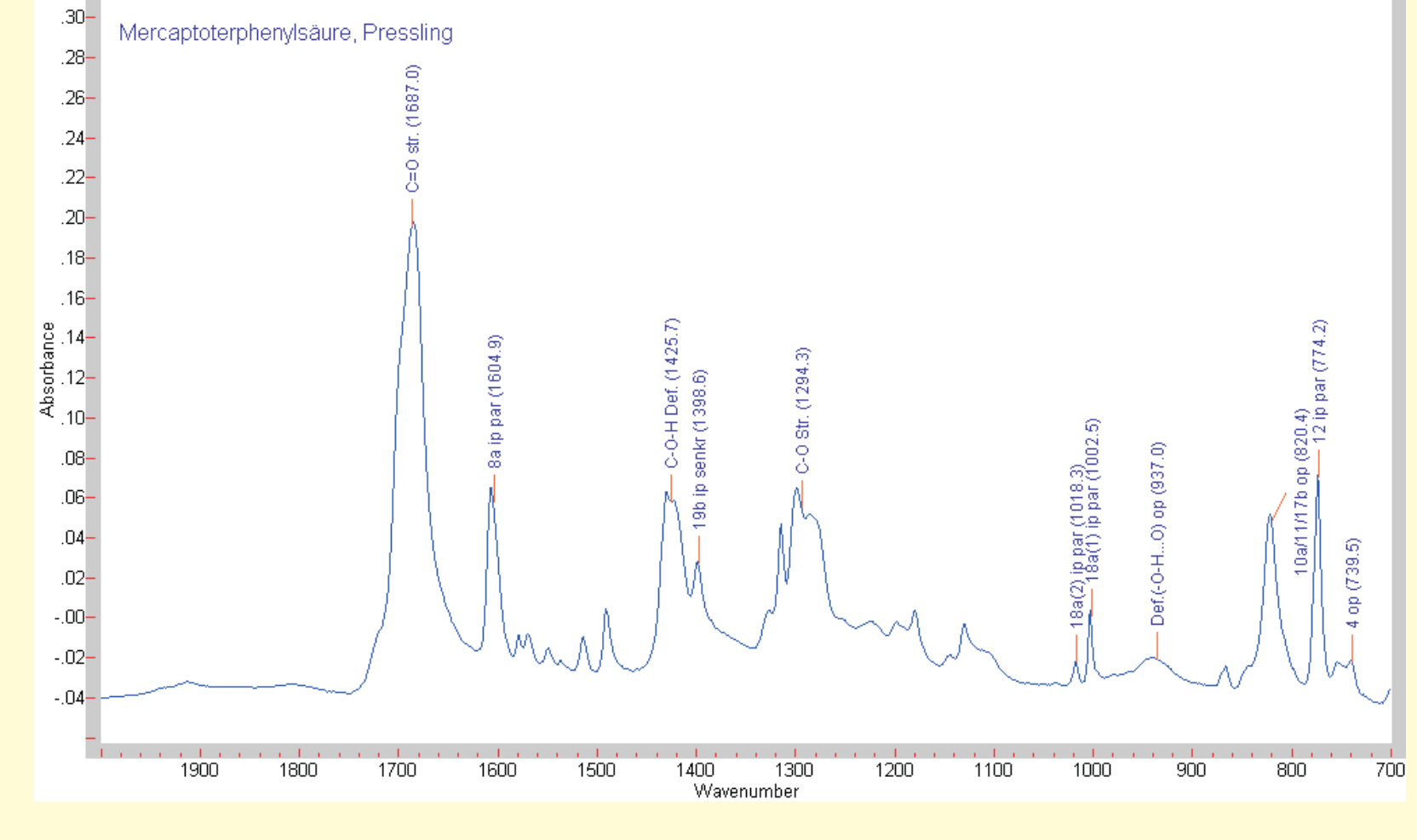
Zuordnung der Bandenlagen

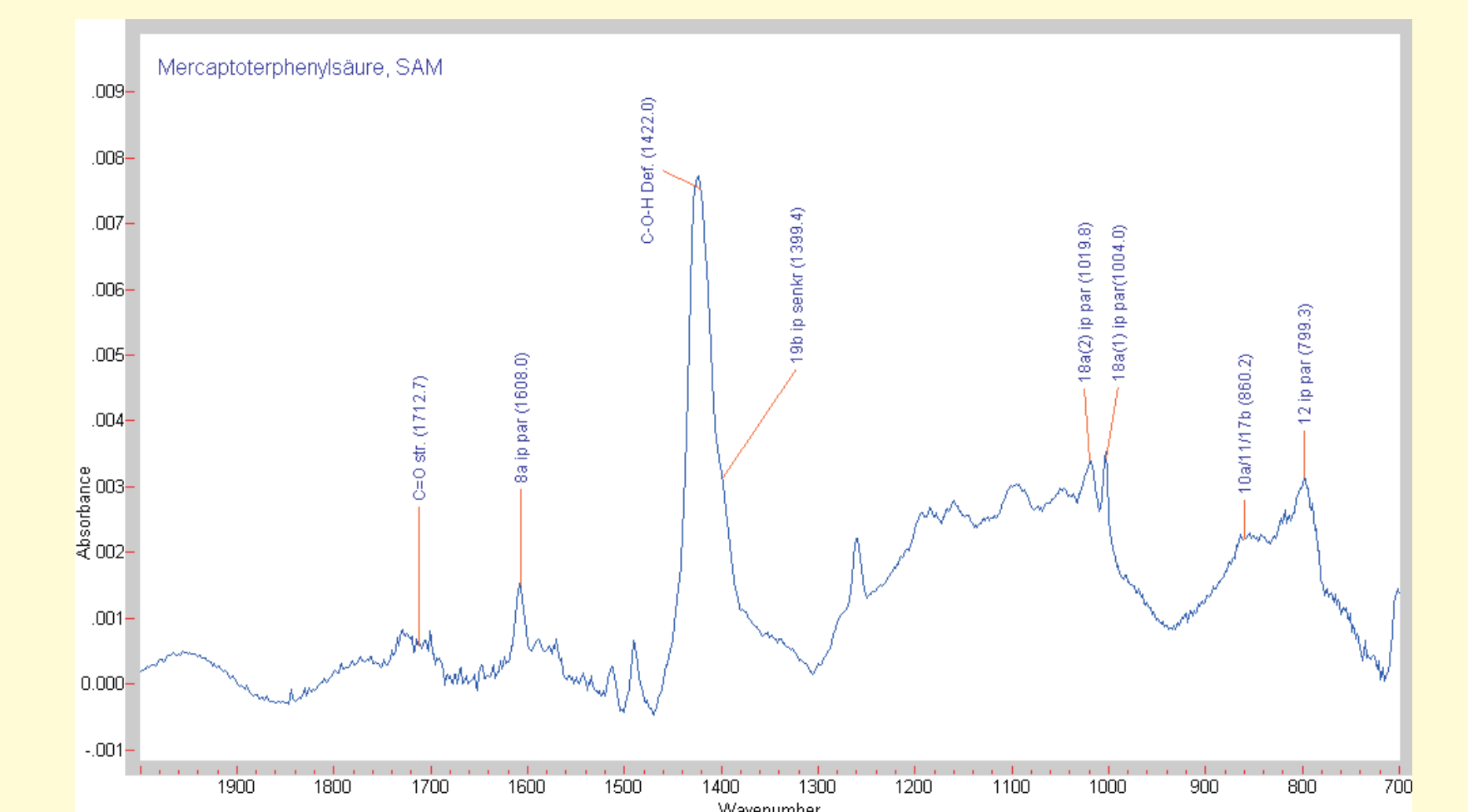
Terphenylthiol Ring, op 4,0,4 Ring, op 0,4,0 Ring, op 11,0,-11 Ring, ip par.12 Ring, op 10a,0,+/-10a Ring, op 0,11,0 Ring, op 0,17b,0 Ring, op 0,11,0 Ring, op 0,10a,0 Ring, op 10b,0,10b Ring, op 10b,0,-10b Ring, op 17b Ring, ip par.1,4-Achse 18a Ring, ip par.1,4-Achse 18a Ring, op, 5	960 723 751 769 770 850 825 838 840 850 908 911	693 722 753 763 780 816 840 849	705 762 814	p-Terphenyl p-Terphenyl p-Terphenyl p-Terphenyl p-Terphenyl p-Terphenyl p-Terphenyl	nicht genau zuordenbar	1, 1,
Ring, op 4,0,4 Ring, op 0,4,0 Ring, op 11,0,-11 Ring, ip par.12 Ring, op 10a,0,+/-10a Ring, op 0,11,0 Ring, op 0,17b,0 Ring, op 0,11,0 Ring, op 0,10a,0 Ring, op 10b,0,10b Ring, op 10b,0,-10b Ring, op 17b Ring, ip par.1,4-Achse 18a Ring, op, 5	723 751 769 770 850 825 838 840 850 908 911	722 753 763 780 816 840 849	762	p-Terphenyl p-Terphenyl p-Terphenyl p-Terphenyl p-Terphenyl p-Terphenyl p-Terphenyl	nicht genau zuordenbar	1,
Ring, op 0,4,0 Ring, op 11,0,-11 Ring, ip par.12 Ring, op 11,0,11 Ring, op 10a,0,+/-10a Ring, op 0,11,0 Ring, op 0,17b,0 Ring, op 0,11,0 Ring, op 0,10a,0 Ring, op 10b,0,10b Ring, op 10b,0,-10b Ring, op 17b Ring, ip par.1,4-Achse 18a Ring, ip par.1,4-Achse 18a Ring, op, 5	723 751 769 770 850 825 838 840 850 908 911	722 753 763 780 816 840 849	762	p-Terphenyl p-Terphenyl p-Terphenyl p-Terphenyl p-Terphenyl p-Terphenyl p-Terphenyl	nicht genau zuordenbar	1,
Ring, op 11,0,-11 Ring, ip par.12 Ring, op 11,0,11 Ring, op 10a,0,+/-10a Ring, op 0,11,0 Ring, op 0,17b,0 Ring, op 0,11,0 Ring, op 0,10a,0 Ring, op 10b,0,10b Ring, op 10b,0,-10b Ring, op 17b Ring, ip par.1,4-Achse 18a Ring, ip par.1,4-Achse 18a Ring, op, 5	751 769 770 850 825 838 840 850 908 911	753 763 780 816 840 849		p-Terphenyl p-Terphenyl p-Terphenyl p-Terphenyl p-Terphenyl p-Terphenyl	nicht genau zuordenbar	
Ring, ip par.12 Ring, op 11,0,11 Ring, op 10a,0,+/-10a Ring, op 0,11,0 Ring, op 0,17b,0 Ring, op 0,11,0 Ring, op 0,10a,0 Ring, op 10b,0,10b Ring, op 10b,0,-10b Ring, op 17b Ring, ip par.1,4-Achse 18a Ring, ip par.1,4-Achse 18a Ring, op, 5	769 770 850 825 838 840 850 908	763 780 816 840 849		p-Terphenyl p-Terphenyl p-Terphenyl p-Terphenyl p-Terphenyl	nicht genau zuordenbar	1,
Ring, op 11,0,11 Ring, op 10a,0,+/-10a Ring, op 0,11,0 Ring, op 0,17b,0 Ring, op 0,11,0 Ring, op 0,10a,0 Ring, op 10b,0,10b Ring, op 10b,0,-10b Ring, op 17b Ring, ip par.1,4-Achse 18a Ring, ip par.1,4-Achse 18a Ring, op, 5	770 850 825 838 840 850 908 911	780 816 840 849		p-Terphenyl p-Terphenyl p-Terphenyl p-Terphenyl	nicht genau zuordenbar	1,
Ring, op 10a,0,+/-10a Ring, op 0,11,0 Ring, op 0,17b,0 Ring, op 0,11,0 Ring, op 0,10a,0 Ring, op 10b,0,10b Ring, op 10b,0,-10b Ring, op 17b Ring, ip par.1,4-Achse 18a Ring, op, 5	850 825 838 840 850 908 911	816 840 849	814	p-Terphenyl p-Terphenyl p-Terphenyl	nicht genau zuordenbar	1,
Ring, op 0,11,0 Ring, op 0,17b,0 Ring, op 0,11,0 Ring, op 0,10a,0 Ring, op 10b,0,10b Ring, op 10b,0,-10b Ring, op 17b Ring, ip par.1,4-Achse 18a Ring, ip par.1,4-Achse 18a Ring, op, 5	825 838 840 850 908 911	840 849	814	p-Terphenyl p-Terphenyl	nicht genau zuordenbar	1,
Ring, op 0,17b,0 Ring, op 0,11,0 Ring, op 0,10a,0 Ring, op 10b,0,10b Ring, op 10b,0,-10b Ring, op 17b Ring, ip par.1,4-Achse 18a Ring, ip, 5	838 840 850 908 911	840 849	814	p-Terphenyl	nicht genau zuordenbar	
Ring, op 0,11,0 Ring, op 0,10a,0 Ring, op 10b,0,10b Ring, op 10b,0,-10b Ring, op 17b Ring, ip par.1,4-Achse 18a Ring, ip par.1,4-Achse 18a Ring, op, 5	840 850 908 911	849				
Ring, op 0,10a,0 Ring, op 10b,0,10b Ring, op 10b,0,-10b Ring, op 17b Ring, ip par.1,4-Achse 18a Ring, ip par.1,4-Achse 18a Ring, op, 5	850 908 911	849		n Tarabara		
Ring, op 10b,0,10b Ring, op 10b,0,-10b Ring, op 17b Ring, ip par.1,4-Achse 18a Ring, ip par.1,4-Achse 18a Ring, op, 5	908 911			p-Terphenyl		
Ring, op 10b,0,-10b Ring, op 17b Ring, ip par.1,4-Achse 18a Ring, ip par.1,4-Achse 18a Ring, op, 5	911			p-Terphenyl		
Ring, op 17b Ring, ip par.1,4-Achse 18a Ring, ip par.1,4-Achse 18a Ring, op, 5				p-Terphenyl	Pressling, nicht auflösbar 911	
Ring, ip par.1,4-Achse 18a Ring, ip par.1,4-Achse 18a Ring, op, 5	909	911	854	p-Terphenyl		
Ring, ip par.1,4-Achse 18a Ring, op, 5				p-Terphenyl	äußere Ringe	
Ring, op, 5	1027	1002	1002	p-Terphenyl	mittlerer Ring	
	1041	1014	1013	p-Terphenyl	äußere Ringe	
Ding in conkr 1 / A chao 15	1073	1076		p-Terphenyl		
Ring, ip senkr.1,4-Achse, 15	1117	1107		p-Terphenyl	äußere Ringe	
Ring, ip senkr.1,4-Achse, 3	1256	1258		p-Terphenyl	mittlerer Ring	
Ring, ip senkr.1,4-Achse, 19b	1401	1397		p-Terphenyl	mittlerer Ring	
Ring, ip par.1,4-Achse, 19a	1454	1482	1477	p-Terphenyl	äußere Ringe	
Ring, ip senkr.1,4-Achse, 8b	1574	1567,1582		p-Terphenyl	äußere Ringe	
Ring, ip par.1,4-Achse, 8a	1593	1594	1599	p-Terphenyl	äußere Ringe	
Ring 7b (CH Str.)	3030	3033	3033	Benzol-CH3	CH Str. für p-monosubst. Ringe	
Ring 20b ip senkr. 1,4-Achse	3080	3054	3062	R-Benzol-R	CH Str. für p-disubst. Ringe	
Ring 20b ip senkr. 1,4-Achse	3062	3054	3062	R-Benzol-R	in Lit. bezeichn. nur als CH Str.	
Mercaptoterphenylsäure						
Ring, op 0,4,0	723	739		p-Terphenyl		1,
Ring, ip par.12	762	774	799	p-Terphenyl		
Ring, op 10a,0,+/-10a	850			p-Terphenyl		1,
Ring, op 0,11,0	825	816	860	p-Terphenyl	Banden nicht auflösbar	
Ring, op 17b	838			p-Terphenyl		
•	75-960	937		Carboxylgr.	wasserstoffverbücktes Dimer	
Ring, ip par.1,4-Achse 18a	1027	1002	1004	p-Terphenyl	mittlerer Ring	
Ring, ip par.1,4-Achse 18a	1018	1014	1019	p-Terphenyl	äußere Ringe	
Ring, ip senkr.1,4-Achse, 15	1117	1107		p-Terphenyl	äußere Ringe	
	80-1325	1294		Carboxylgr.	Gruppenschwingung	
Ring, ip senkr.1,4-Achse, 19b	1401	1399	1399	p-Terphenyl	mittlerer Ring	
	95-1440	1426	1422	p-Terphenyl	mittlerer Ring	
Ring, ip par.1,4-Achse, 19a	1454	1490	1491	p-Terphenyl	äußere Ringe	
Ring, ip par.1,4-Achse, 8a	1593	1604	1608	p-Terphenyl	äußere Ringe	
StreckschwC=O 16 Quellenverzeichnis	80-1720	1687	1712	Carboxylgr.	Carbonylschwingung	

IR-Spektren Terphenylthiol



IR-Spektren Mercaptoterphenylsäure





Orientierungsbestimmung

Dooletying	se SAM	Contor	Пäshs	Ctd about	Ctd oby 0/
Peaktype	Schwingung	Center	Fläche	Std.abw.	Std.abw %
1 Gauss	12 ip par	762,59679			16,125818
2 Gauss	10a,11,17b op		0,00243135	0,0009736	
3 Gauss	18a (1) ip par	1001,72105	0,00457018	0,00073159	16,007813
4 Gauss	19a ip par	1477,44475	0,01642279	0,00085618	5,2133912
5 Gauss	7b ip par	3033,95895	0,00156258	0,00083634	53,522700
6 Gauss	20b ip par	3061,95228	0,00432766	0,00095953	22,172028
Fitergebniss	se Pressling				
Peaktype	Schwingung	Center	Fläche	Std.abw.	Std.abw %
1 Gauss	12 ip par	763, 148231	0,90111866	0,03160788	3,5076269
2 Gauss	10a,11,17b op	816,05689	1,34848508	0,03151041	2,3367263
3 Gauss	18a (1) ip par	1001,92967	0,16781001	0,02648071	15,780174
4 Gauss	19a ip par	1481,20405	0,83380998	0,02544104	3,0511799
5 Gauss	7b ip par	3030,85962	0,21142696	0,062208	29,422928
6 Gauss	20b ip par	3055, 10605	0,1156102	0,10233308	88,51561
	Orientierung u	nd Fehler, Gra	d		
	Peak	Kippung	Fehler		
	12 ip par	42	7		
	18a (1) ip par	20	6		
	19a ip par	23	6		
	7b ip par	35	17		
	20b ip par	17	13		

Orientierung	sbestimmung Me	ercaptoterpher	ylsäure		
Fitergebniss	se SAM				
Peaktype	Schwingung	Center	Fläche	Std.abw.	Std.abw %
1 Gauss	12 ip par	798,437511	0,03043987	0,00408971	13,435385
2 Gauss	10a, 11,17b op	820,90994	0,0049186	0,00273634	55,632414
3 Gauss	18a (1) ip par	1004,24798	0,00410564	0,0014876	36,233184
4 Gauss	18a (2) ip par	1019,27677	0,04279033	0,00198997	4,6505023
5 Gauss	C-O-H Def.	1424,84559	0,22484293	0,01057422	4,7029363
6 Gauss	8a ip par	1608,73046	0,01207541	0,00226596	18,765102
Fitergebniss	se Pressling				
Peaktype	Schwingung	Center	Area	Std.abw.	Std.abw %
1 Gauss	12 ip par	774,227128	0,90111866	0,0939522	10,426174
2 Gauss	10a, 11,17b op	821,41424	1,34848508	0,14302174	10,606104
3 Gauss	18a (1) ip par	1002,73349	0,16781001	0,03619329	21,568018
4 Gauss	18a (2) ip par	1017,89553	0,83380998	0,08672241	10,400740
5 Gauss	C-O-H Def.	1425,82937	0,21142696	0,21839413	103,29530
6 Gauss	8a ip par	1605,33749	0,1156102	0,11442914	98,978411
	Orientierung ur	nd Fehler, Gra	d		
	Peak	Kippung			
	12 ip par	25	8		
	18a (1) ip par	29	13		
	18a (2) ip par	21	7		
	C-O-H Def.	5	5		
	8a ip par	15	14		